



سنتز نانوذرات TiO_2 به روش میکروامولسیون و بررسی تغییرات ریزساختاری ذرات در حین کلسیناسیون

مهنزا کرباسی^۱, علی نعمتی^۲, مریم حسینی زری^{۳*}

۱- دانشجوی کارشناسی ارشد، دانشکده مهندسی مواد، دانشگاه آزاد اسلامی واحد علوم و تحقیقات، تهران، ایران، صندوق پستی: ۱۴۱۵۵-۴۹۳۳

۲- دانشیار، دانشکده مهندسی و علم مواد، دانشگاه صنعتی شریف، تهران، ایران، صندوق پستی: ۱۱۳۶۵-۸۶۳۹

۳- استادیار، گروه پژوهشی رنگدانه‌ای معدنی و لعاب، پژوهشگاه علوم و فناوری رنگ، تهران، ایران، صندوق پستی: ۱۶۷۶۵-۶۵۴

در دسترس به صورت الکترونیکی از: ۱۳۹۰/۳/۲۰ تاریخ دریافت: ۸۹/۸/۲

چکیده

ذرات دی‌اکسید تیتانیم (تیتانیا) به روش میکروامولسیون آب در رونعن تهیه شدند و جهت بررسی خواص فوتوکاتالیستی از متیلن بلو استفاده گردید. میکروامولسیون از آب، سیکلوهگزان و یک فعال کننده سطح آنسیونی به نام AOT (bis (2-ethylhexyl) sodium sulfosuccinate) تشکیل شد. کوچکترین اندازه ذره در سیستم میکروامولسیون، ۲۱ نانومتر بود که در نسبت مولار آب به فعال کننده سطح ۲، به دست آمد. تأثیر عوامل مختلف حین فرآیند (نسبت آب به فعال کننده سطح (W₀ و دما) در مشخصات نهایی از جمله ساختار فازی و اندازه ذرات بررسی گردید. ذرات تیتانیایی که در این شرایط آماده شده بودند، به صورت پودر بی‌شکل بوده و در دمای ۵۰۰°C، دمایی که کمتر از دمای معمول تعریف شده جهت ایجاد فاز آناناتاز تبدیل شدند. ذرات نانو پودر تیتانیا به وسیله دستگاه‌های SEM, TEM, FT-IR و DTA مورد بررسی قرار گرفتند. ذرات تیتانیایی که در دمای ۵۰۰°C کلسینه شدند بالاترین مشخصات فوتوکاتالیستی تجزیه متیلن بلو را از خود نشان دادند.

واژه‌های کلیدی: میکروامولسیون، تیتانیا، نسبت آب به فعال کننده سطح.

Synthesis of TiO_2 Nanoparticles in Reverse Microemulsion and Microstructural Changes of Particles During Calcination

M. Karbassi¹, A. Nemat², M. Hosseini Zori^{*3}

¹ Science and Research Branch of Islamic Azad University, , P. O. Box: 4933-14155, Tehran, Iran.

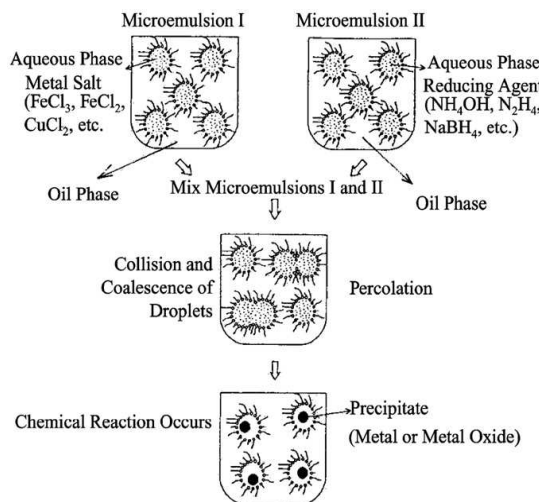
² Department of Materials Science and Engineering, Sharif University of Technology, P. O. Box: 11155-9466, Tehran, Iran

³ Department of Inorganic Pigments and Glazes, Institute for Color Science and Technology, P. O. Box: 16765-654, Tehran, Iran

Abstract

Titanium dioxide (titania) particles were prepared by a water-in-oil emulsion system, and studied for the photodecomposition property of methylene blue. Microemulsion (ME) consisted of water, cyclohexane and a anionic surfactant such as (AOT). The smallest diameter of the particles was 28 nm in the system of cyclohexane with surfactant when the molar ratio of water to surfactant was 2. The effect of the process parameters (water/surfactant ratio, temperatures) on the final characteristics has been investigated, in terms of structural phase and particle size. Titania particles prepared in this condition were collected as amorphous powder, and converted to anatase phase at less than 500°C, which is lower than the ordinal phase transition temperature. The titania nanopowders were characterized by means of X-ray diffraction and SEM, TEM, FT-IR, and DTA. The titania calcined at 500 °C shows the highest activity on the photocatalytic decomposition of methylene blue. J. Color Sci. Tech. 5(2011), 43-50 © Institute for Color Science and Technology.

Keywords: Microemulsion, Titania, Water/surfactant ratio.



شکل ۲: نمایی از گستردگی ترین نوع روش میکروامولسیون [۴].

تیتانیا یک نیمه‌هادی از نوع n (n-type) است. این ماده به عنوان یکی از مهم‌ترین نیمه‌هادی‌ها محسوب می‌گردد که به دلیل خنثی بودن، مقاومت شیمیایی بالا، پایداری مکانیکی بالا، قیمت پایین و غیرسمی بودن آن در دو دهه گذشته به عنوان یک فوتوكاتالیست مطلوب برای تصفیه آب و هوا به کار گرفته شده است. تیتانیا در سه فاز بلوری موجود است: فازهای آناناتز، روتیل و بروکیت [۷]. تغییرات چندشکلی‌های تیتانیا پیچیده است، این تغییرات به اندازه ذره، ناخالصی‌ها، ترکیب و ... وابسته هستند. فاز روتایل بعد از کلسینه شدن در دمای بالا به دست آمده و خصوصیات اساسی آن مثل الکتریکی، نوری و گرمایی بخوبی بررسی شده است [۸]. فاز آناناتز بیشترین خصوصیت فوتوكاتالیستی را نسبت به دیگر فازهای تیتانیا دارد و برای تصفیه حلال، تمیز کردن خودبخودی و ضد مه کردن سطوح استفاده می‌شود [۹].

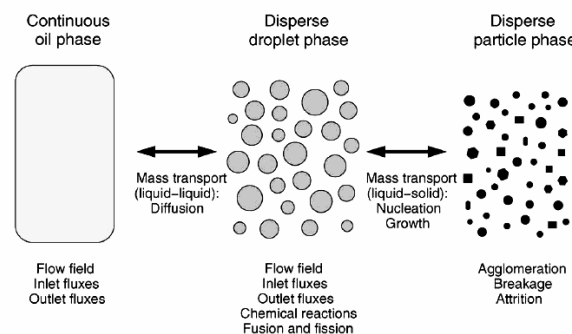
تیتانیا به علت کاربردهای گستردگی‌اش در رنگدانه‌ها، پوشش‌ها، فوتوكاتالیست‌ها و همچنین توانایی آنها در تجزیه آلاینده‌های آلی در مجاورت آب و هوا و همین طور پایداری شیمیایی و زیست سازگار بودن، بسیار مورد مطالعه قرار گرفته است. بیشتر تلاش‌ها جهت رسیدن به ذرات تیتانیا به اندازه نانو است چرا که خواصی از جمله اثر کواتسومی اندازه ذرات در زمانی که ذرات بسیار ریز هستند ظاهر خواهند شد. سنتز نانوذرات بعد از افزودن تیتانیوم ترا ایزوپروپوکسید به فاز روغنی آغاز می‌شود و رسوب ذرات کروی شکل و بسیار ریز در نتیجه پایدار بالای پیش‌ماده تیتان و تماس واکنشی بین ذرات اتفاق می‌افتد. نتایج مطالعات در این روش، نشان داده است که اگر غلظت آلكوکسید استفاده شده پایین باشد به علت واکنش بسیار سریع آلكوکسید تیتانیوم با آب این روش قابل استفاده نیست [۱۰-۱۴].

در پژوهش حاضر، ذرات تیتانیا با اندازه نانو از طریق آبکافت تیتانیوم ترا ایزوپروپوکسید در میسل‌های معکوس آب در روغن آماده

۱- مقدمه

سنتز نانوذرات به روش میکروامولسیون از دهه ۱۹۸۰ که محلول‌های کلولی‌ای از نانوذرات فلزی تهیه می‌شدند، بسیار مورد توجه بوده است [۱]. عموماً یک محلول میکروامولسیون را به صورت یک سیستم پایدار ترمودینامیکی که حداقل از ۳ جز تشکیل شده: دو مایع غیرقابل حل درهم (عموماً آب و روغن) و یک فعال‌کننده سطح تعریف می‌کنند. شکل ۱ نمایی از اتفاقات ممکن در حین تبدیل محلول میکروامولسیون به فاز یا فازهای مختلف را نشان می‌دهد. در حین مخلوط کردن، جوانهزنی اتفاق می‌افتد در حالی که لایه‌های فعال‌کننده سطح به سطح ذرات درحال رشد چسبیده و در نتیجه مانع انباستگی^۱ ذرات می‌شوند. گستردگی ترین نوع میکروامولسیون در شکل ۲ نشان داده شده است، این سیستم متشکل از دو محلول میکروامولسیون جداگانه است [۲-۵].

روش میکروامولسیون به عنوان یک روش سنتز مواد بر اساس محلول، به علت توانایی بی‌نظیرش در سنتز و پایداری ذرات پیشنهاد می‌گردد. سنتز واکنشی میکروامولسیون یک روش قوی جهت دستیابی به ذرات نانومتری و خیلی ریز با کنترل اندازه و شکل ذرات است. در این فرآیند میکروامولسیون‌ها به عنوان میکرو راکتورهای شیمیایی عمل می‌کنند، بنابراین می‌توانند در کنترل اندازه و شکل ذرات توانا باشند. استفاده از امولسیون مناسب، منجر به پخش محلول آبی که شامل پیش‌ماده‌ای از مواد اولیه فلزی است، درون فاز روغنی می‌شود، در نتیجه به حداقل رساندن انرژی سطح، قطره‌هایی با اندازه نانو ایجاد می‌شوند، بنابراین، واکنش شیمیایی یا رسوب‌گذاری در هر قطره جداگانه اتفاق می‌افتد. در نتیجه مرحله رسوب‌گذاری، اطراف هر ذره لایه‌ای از ماده فعال‌کننده سطح پوشیده می‌شود که در پی آن، فرآیند انباستگی به کمترین میزان خود می‌رسد. پایداری محلول میکروامولسیون بستگی به عوامل زیادی از جمله نسبت مولار آب به فعال‌کننده سطح دارد [۶-۸].

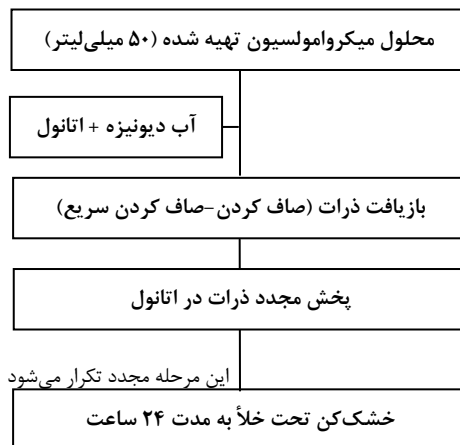


شکل ۱: ساز و کار پیشنهادی جهت تشکیل نانوذرات از محلول میکروامولسیون [۲].

1- Agglomeration

از محلول میکروامولسیون و روش کلسانیسیون در جدول ۱ ارائه شده است. ساختار بلوری ذرات تیتانیای به دست آمده به وسیله دستگاه XRD شناسایی شدند.

نانوپودرهای سنتر شده به وسیله پرتو اشعه X (مدل Philips PW 1840) مشخص شدند و همچنین نمودارهای حرارتی توسط (Mettler Toledo, 50–400 °C) صورت گرفته و حضور کربن حاصل از سیکلوهگزان در نانو ذرات از طریق میکروسکوپ الکترونی روبشی (SEM-EDS, Philips XL30) مشخص شدند. اندازه و ریختشناسی ذرات تهیه شده به وسیله میکروسکوپ الکترونی عبوری (TEM, Philips CM120) تعیین شد. پیوندهای شیمیایی ذرات آماده شده به وسیله اسپکترومتری زیرقرمز (FT-IR, Thermo Nicolet, USA) مشخص شدند و در ادامه بررسی رنگزدایی و تخریب فوتوکاتالیستی با دستگاه (Shimadzu UV2400) بررسی شد.



شکل ۴: بازیافت نانوذرات تیتانیا از محلول میکروامولسیون.

جدول ۱: روش‌های بازیافت ذرات نانوتیتانیا از محلول میکروامولسیون در دهه‌های مختلف.

نمونه	W_0	روش جدایش	دما ^{°C}	دما ^{°C}	مدت زمان	کلسانیسیون (دقیقه)	کلسانیسیون (دقیقه)
A	۴	صف کردن	۵۰۰	۲۰			
B	۴	صف کردن	۷۰۰	۲۰			
C	۲	صف کردن	۵۰۰	۲۰			
D	۲	صف کردن	۷۰۰	۲۰			

شدند و تأثیر عوامل فرآیند از جمله نسبت آب به فعال‌کننده سطح (W_0) و دما به منظور بررسی اثر آنها بر پایداری میکروامولسیون و مشخصات ریختشناسی ذرات مورد مطالعه قرار گرفتند.

۲- بخش تجربی

۲-۱- مواد

در این تحقیق از یک فعال‌کننده سطح آنیونی با خلوص بالای ۹۹٪ معروف به AOT^۱ به عنوان فعال‌کننده سطح استفاده شد [۵]. تیتانیوم تترا ایزوپروپوکسید (خلوص بالای ۹۷٪) و سیکلوهگزان (خلوص بالای ۹۹٪)، تهیه شدند و در تمامی مراحل از آب دیونیزه استفاده شد.

۲-۲- روش کار

محلول میکروامولسیون از مخلوط سیکلوهگزان با غلظت ۰.۵ مولار از فعال‌کننده سطح و مقدار مورد نیاز آب تهیه گردید و نسبت مolar (فعال‌کننده سطح / آب)، ۲ و ۴ در نظر گرفته شد. ذرات خیلی ریز با افزودن تیتانیوم تترا ایزوپروپوکسید به محلول میکروامولسیون و در حین همزدن ملایم، شکل گرفته و آبکافت تیتانیوم تترا ایزوپروپوکسید خیلی سریع اتفاق افتاد (شکل ۳).

سپس جهت بازیافت نانوذرات تیتان از محلول میکروامولسیونی که در مرحله پیش آمده شده، میزان ۱۰ میلی لیتر آب و ۳۰ میلی لیتر اتانول به ۵۰ میلی لیتر از محلول میکروامولسیون حاوی ذرات تیتانیا افزوده شد. محلول به دو فاز جداگانه تقسیم شد و ذرات معلق خیلی سریع در قسمت پایین ظرف تشکیل شدند. این ذرات در دستگاه صافی تحت خلاً جدا شدند. ذرات تیتانیای خشک بعد از ۲۴ ساعت نگهداری ژل مذکور در خشک کن، به دست آمده و نمونه‌ها در دهه‌های ۵۰۰ و ۷۰۰ °C کلسانیه شدند (شکل ۴). روش‌های بازیافت ذرات



شکل ۳: آبکافت ذرات نانوتیتان.

ذرات در 100°C بدون کلسیناسیون آماده شدند پیوند قوی در منطقه $1450\text{-}1050\text{ Cm}^{-1}$ که در نتیجه واکنش فعال کننده سطح است، دیده می‌شود که شدت کاهش این پیک‌ها با افزایش دمای کلسیناسیون کاهش می‌یابد. پیک جذب گستردگی، در محدوده 3400 Cm^{-1} دیده می‌شود که در نتیجه حرکت انبساطی گروه OH- است. همچنین پیک موجود در محدوده 1620 Cm^{-1} معرف حضور آب پیوندی است که در دماهای بالا، کاهش مشخصی در شدت پیک مذکور دیده می‌شود.

کاهش شدت پیوندهای OH که با TiO_2 پیوند داده‌اند، ممکن است به تجمع OH تولید شده که حاصل هیدرورژن‌زادایی صورت گرفته در سطح تیتانیا باشد، نسبت داده شوند. پیوندهای Ti-O-Ti در محدوده $650\text{-}400\text{ Cm}^{-1}$ ظاهر شدن. با کاهش میزان TiO_2 شدت پیک‌های جذب که در نتیجه گروه O-H در نزدیکی 1620 Cm^{-1} است، کاهش می‌یابد. پیک‌های جذبی که در نتیجه وجود مواد آلی ایجاد شده‌اند، در محدوده $1450\text{-}1050\text{ Cm}^{-1}$ افزایش می‌یابد. این نکته قابل توجه است که در شرایط W_0 پایین، آبکافت و تغليظ نسبتاً پایین است و در نهایت پیک‌هایی که در محدوده 1100 Cm^{-1} ایجاد شدند در نتیجه گروههای آلکوكسید غیرواکنشی هستند [۱۷-۱۹].

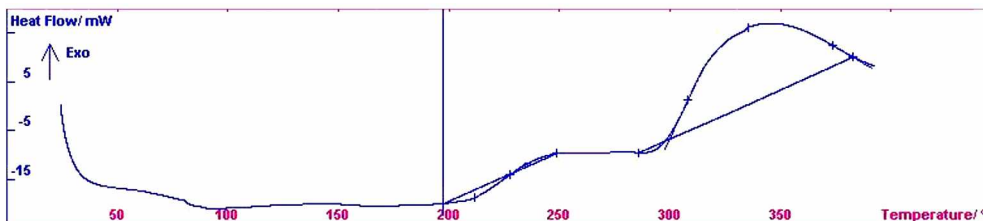
۳- نتایج و بحث

۳-۱- بررسی نمودار حرارتی

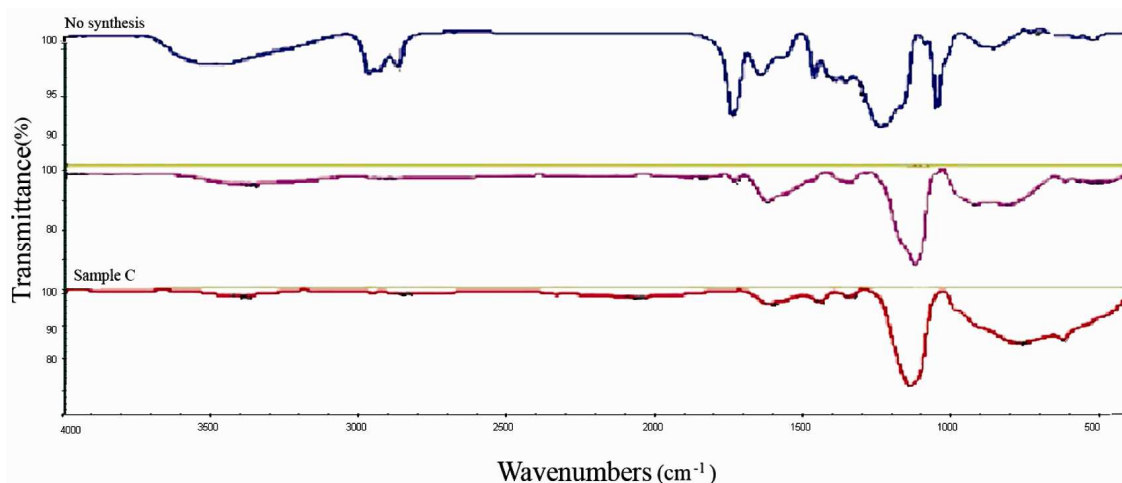
آنالیزها در اتمسفر هوا در محدوده $40\text{-}400^{\circ}\text{C}$ با سرعت $/ 10^{\circ}\text{C}$ دقیقه حرارت داده شد. شکل ۵ نمودار حرارتی DTA را برای ذرات تیتانیا که در DTA آماده شده‌اند را نشان می‌دهد. این آنالیزها پیک‌هایی را در 100°C ، 240°C و 340°C نشان می‌دهد. به نظر می‌رسد که ایندواترم زیر 100°C نتیجه آب آزاد جذب شده و سیکلوهگران است [۱۵]. معمولاً غلظت گروههای آلکیل در ساختار شبکه با افزایش میزان متوسط آبکافت و مقدار آب آزاد کاهش می‌یابد. صرف نظر از میزان آب آزاد پیک در دمای 240°C نتیجه تجزیه فعال کننده سطح و کاهش گروههای OH- و تراکم پیوندهای اکسیژن است. در ادامه، پیک اگزومتریک در حدود 350°C ، مربوط به بلوری شدن فاز بی‌شکل به فاز آناتاز می‌شود [۱۶].

۳-۲- بررسی پیوندهای شیمیایی

شکل ۶ طیف FT-IR نمونه‌های تهیه شده (طبق جدول ۱) در محدوده $400\text{-}4000\text{ Cm}^{-1}$ را نشان می‌دهد. در این آزمایش نسبت مولار، آب به فعال کننده سطح، ۲ و ۴ در نظر گرفته شدند. زمانی که



شکل ۵: منحنی DTA از پودر تیتانیا سنتر شده.



شکل ۶: طیف‌های FT-IR از نانوپودرهای تیتانیا که در W_0 و دماهای مختلف کلسینه شده‌اند.

شده است در شکل ۸ (الف و ب) نشان می‌دهد که توزیع عنصر کربن به صورت همگن نیست. به عبارت دیگر وقتی $W_0 = 4$ است، به علت افزایش میزان قطرات آب موجود در محلول میکروامولسیون (نسبت به $W_0 = 2$) توزیع ذرات کربن که ناشی از واکنش فعال کننده سطح و سیکلوهگزان است به صورت کامل و همگن تغییر نکرته است. درصد عنصر کربن در $500^\circ C$ بیشتر از $700^\circ C$ است، که به میزان واکنش فاز آبی و فاز معدنی بر می‌گردد [۲].

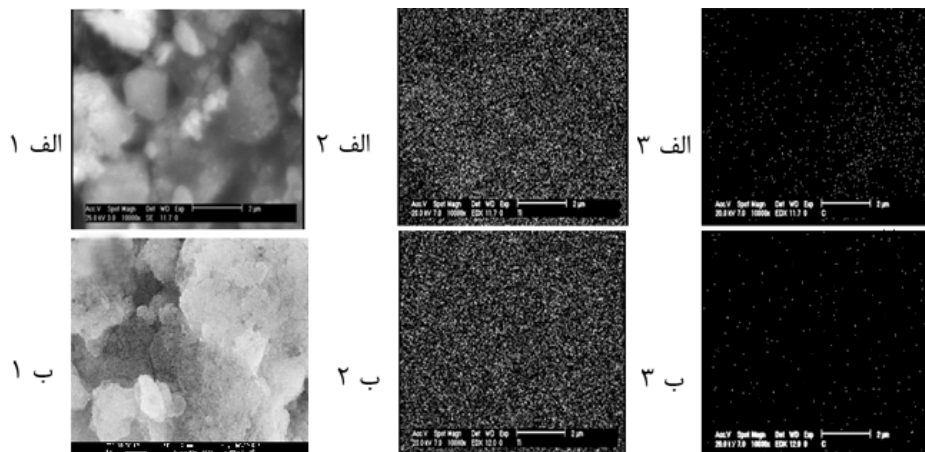
ژلهای تیتانیا به وسیله آبکافت آلکوکسید تیتانیوم^۱ در فعال کننده سطح آنیونی^۲ سنتز شدند. در این فرآیند زمان ژل شدن (t_g) رابطه غیرخطی کاهشی با نسبت W_0 دارد (رابطه ۱).

$$t_g = A \exp[-k \cdot W_0] \quad [۵]$$

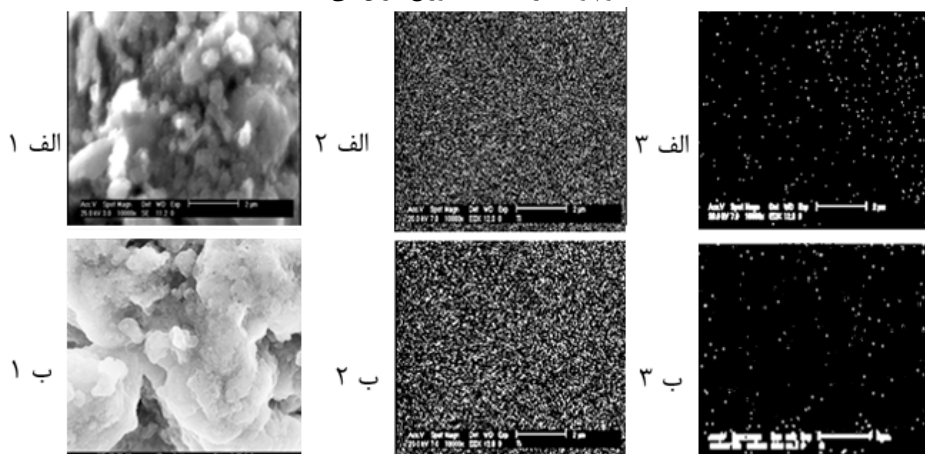
- 1- TTIP
2- AOT

۳-۳- بررسی ریزساختاری
طیف WDX از نانوپودرهای تیتانیا $W_0 = 2$ در شکل ۷ (الف و ب) دلالت بر وجود عنصر کربنی که ناشی از مواد اولیه آلی است و بافعال کننده سطح کاملاً ترکیب شده‌اند، می‌کند. نقشه عنصر کربن و تیتان در شکل ۷-الف نشان می‌دهد که عنصر کربن در پودرهای کلسینه شده در $500^\circ C$ به صورت کاملاً همگن توزیع نشده است. اندازه ذرات ثانویه که در $500^\circ C$ سنتز شدند، در نتیجه انقباض انباسته‌ها و حذف تخلخلهای بین ذرات کاهش یافته است (شکل ۷-ب). اندازه ذرات بلوری در نتیجه تراکم انباسته داخلی ذرات، حدود ۴۸ نانومتر بوده و به طور واضح قابل مشاهده است. علاوه بر این، ذرات ثانویه متراکم‌تر و غیرکروی دیده می‌شوند.

عامل دیگری که در این تحقیق مورد توجه قرار گرفت، نسبت مولار آب به فعال کننده سطح بود. افزودن مقدار فاز آبی اولیه می‌تواند روی اندازه ذرات نهایی و همچنین پایداری محلول امولسیون تأثیر بسزایی بگذارد. نقشه عنصر کربن نانوپودر تیتانیا که در $W_0 = 4$ تهیه



شکل ۷: تصویر SEM ریختشناسی سطح پودرهای $W_0 = 2$ در (الف) $500^\circ C$ ، (ب) $700^\circ C$ (شماره ۱ مربوط به تصویر ریزساختاری SEM، شماره ۲ نقشه توزیع تیتانیوم و شماره ۳ نقشه توزیع کربن می‌باشد).



شکل ۸: تصویر SEM ریختشناسی سطح پودرهای $W_0 = 4$ در (الف) $500^\circ C$ ، (ب) $700^\circ C$ (شماره ۱ مربوط به تصویر ریزساختاری SEM، شماره ۲ نقشه توزیع تیتانیوم و شماره ۳ نقشه توزیع کربن می‌باشد).

نشان می‌دهد، نمونه ب دارای فاز آناتاز بوده و با کاهش دمای کلسیناسیون شدت این فاز ضعیف می‌شود که در نمونه ج قابل مشاهده است. این نتایج مشخص می‌کند که تبدیل فاز بی‌شکل به آناتاز در 500°C اتفاق می‌افتد. در ادامه، افزایش بلوری شدن با افزایش دمای کلسیناسیون افزایش می‌یابد، چراکه پیک‌های XRD ذرات تیتانیا تیزتر و باریک‌تر شده‌اند.

اندازه بلور ذرات (D) برای هر چندشکلی در نمونه پراش اشعه X بر اساس رابطه ۳ به دست می‌آید:

$$D = \frac{K\lambda}{\beta \cos\theta_{\beta}} \quad (3)$$

در اینجا λ طول موج تابش (برای لامپ مسی 1540.6 nm)، $K=0.89$ و θ زاویه برآگ در نظر گرفته شده است [۲۱، ۲۲].

۳-۵- بررسی اندازه و ریخت‌شناسی

آزمون TEM جهت تعیین اندازه و ریخت‌شناسی ذرات استفاده شد. این آزمون نشان می‌دهد که اندازه بلور آماده شده با روش میکروامولسیون به وسیله اندازه میسل معکوس تعیین می‌شوند و به نسبت مولار فعل کننده (سطح/آب) (W_0) بستگی دارد [۱۶]. تصاویر TEM که از نانوذرات تیتانیا در دمای مختلف و W_0 یکسان در شکل ۱۰ ارائه شده است. ذرات نشان داده شده در دمای پایین دارای شکل کروی و توزیع اندازه ذرات یکسان هستند. در ادامه، اندازه میانگین ذرات به دست آمده با افزایش دما، از هر ذره از 28 nm تا 48 nm نانومتری افزایش می‌یابد (جدول ۳).

1- Oxidation

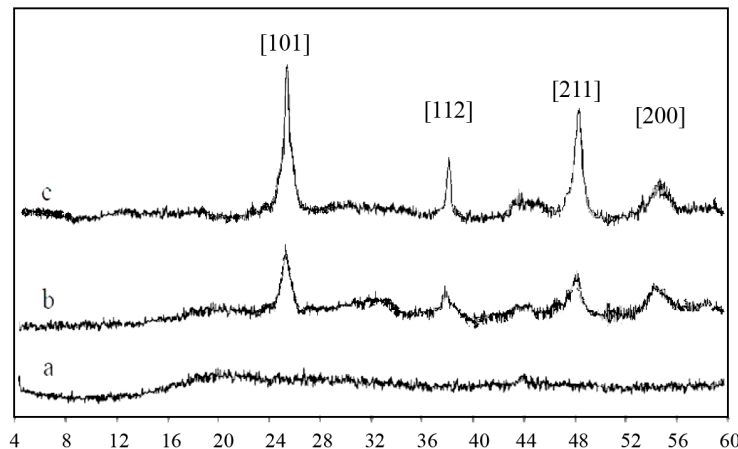
ضریب A به مشخصات گروه آلكوکسید- فعل کننده سطح مورد نظر بستگی دارد، در حالی که ضریب k فقط به طبیعت فعل کننده سطح وابسته است. زمان ژل شدن با افزایش نسبت W_0 کاهش می‌یابد، این رفتار به تراکم تجمعی آب آزاد نسبت داده می‌شود. در W_0 نسبتاً بالا، آب آزاد بیشتر مرحله آبکافت را ترغیب می‌کند، بر این اساس واکنش اکسیداسیون^۱ نسبتاً سریع اتفاق می‌افتد، شبکه دوقطبی‌ها شکل می‌گیرند و در نتیجه زمان ژل شدن کوتاهتری به دست می‌آید [۵]. طبق مطالعاتی که در سیستم آب/سیکلوهگزان/ فعل کننده سطح صورت گرفته است، میسل‌های معکوس کروی شکل دارای پایداری ترمودینامیکی و توزیع اندازه یکنواخت هستند، بر طبق مطالعات صورت گرفته اندازه قطره آب بر اساس تغییرات W_0 قابل کنترل است (رابطه ۲).

$$\text{Hydrodynamic radius (nm)} = 0.175W_0 + 1.5 \quad (2)$$

همچنین اندازه ذرات بلور آماده شده به وسیله روش میکروامولسیون از طریق اندازه میسل‌های معکوس تعیین می‌شوند و به نسبت W_0 وابسته‌اند. به عبارت دیگر، زمانی که $W_0=2$ است، آبکافت و تراکم شرایط مطلوبتری داشته و در نتیجه در نتایج بعدی نسبت W_0 را عدد ثابت ۲ در نظر می‌گیریم [۱۶].

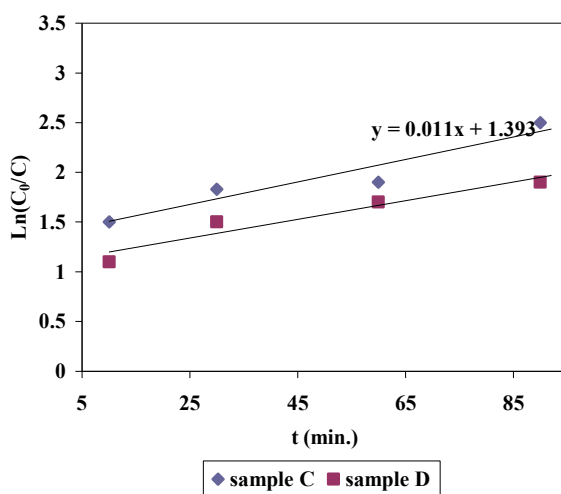
۳-۶- بررسی فازی

شکل ۹ الگوهای نمونه‌های XRD نانوذرات تیتان: (الف) خشک شده در 100°C ، (ب) کلسینه شده در 500°C ، (ج) 200°C . دمایانی که شکل ۹

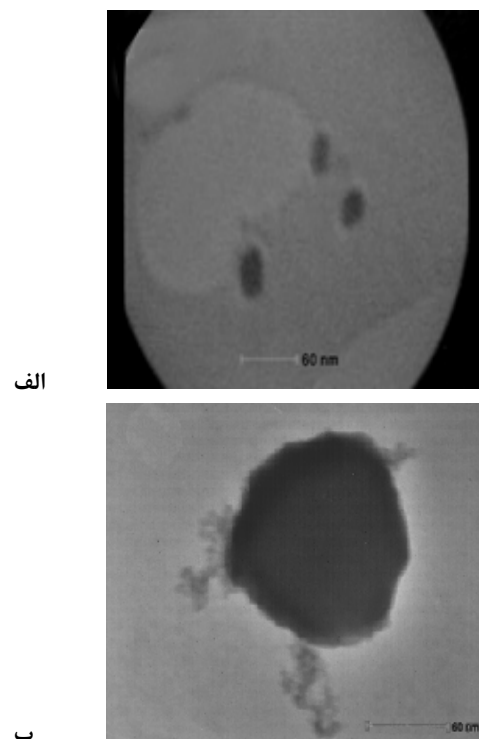


شکل ۹: الگوهای XRD نانوذرات تیتان: (الف) خشک شده در 100°C ، (ب) کلسینه شده در 500°C ، (ج) 200°C .

مورد قبول است [۲۴، ۲۵]. افزایش میزان فاز بلور به تعویق انداختن سرعت تجزیه نور به الکترون و حفره کمک می‌کند [۲۶]. پودر تیتانیا خشک در شیشه پیرکس که حاوی محلول متیلن بلو با غلظت ۵ ppm بود قرار گرفته و در حمام فراصوت جهت جداسازی قرار گرفته است. کاهش غلظت رنگی محلول متیلن بلور به وسیله تجزیه نوری با قرار دادن نمونه در طیف اسپکتروسکوپی جذبی نمونه‌ها اندازه‌گیری شد و نمونه سنتز شده در $500^{\circ}C$ بالاترین خاصیت فتوکاتالیستی را نشان داد. کاهش غلظت رنگی محلول متیلن بلور به وسیله تجزیه نوری با قرار دادن نمونه در طیف اسپکتروسکوپی جذبی نمونه‌ها اندازه‌گیری شد و نمونه سنتز شده در $500^{\circ}C$ بالاترین خاصیت فتوکاتالیستی ($K=0.89$) را نشان داد (شکل ۱۱).



شکل ۱۱: سرعت رنگبری (k, min^{-1}) در نمونه‌های C و D.



شکل ۱۰: تصاویر TEM از پودرهای تیتانیا در: (الف) $500^{\circ}C$ ، (ب) $700^{\circ}C$.

۳-۶- بررسی رنگ زدایی و تخریب فتوکاتالیستی

فعالیت فتوکاتالیستی ذرات تیتانیا به ساختار فازی، اندازه بلوری، مساحت سطح ویژه و ساختار تخلخل آن بستگی دارد [۴]. تیتانیا دارای سه فاز بلوری است: آناتاز، روتاپل و بروکیت. معمولاً این که فاز آناتاز بیشتر از بقیه فازهای تیتانیا خاصیت فتوکاتالیستی دارد،

جدول ۲: ثابت سرعت تجزیه فتوکاتالیستی متیلن بلور در دمای مختلف.

کاتالیست	دماه کلسانیاسیون ($^{\circ}C$)	اندازه بلورک ^۱ (نانومتر)	ساختار	اندازه ذرات (نانومتر)	TEM	$K(\times 10^{-7} \text{ min}^{-1})$
	۳۵۰	۲۸	آناتاز	۲۵		۱.۷
$W_0=2$	۵۰۰	۴۸	آناتاز	۴۵		۱.۱
	۷۰۰	۷۷	آناتاز	۸۰		-

^۱ مطابق فرمول شماره (۳) محاسبه شده است.

یافته، همچنین اندازه ذرات با افزایش نسبت W_0 ، افزایش یافتند. خواص فیزیکی از جمله اندازه بلوری به وسیله XRD، SEM، TEM، FT-IR و DTA مورد بررسی قرار گرفتند. در ادامه، ذرات به شکل کروی و با توزیع اندازه یکنواخت در دمای 500°C نشان دادند که این ذرات بالاترین تغییرات فوتوكاتالیستی را در متیلن بلو دارند و در نتیجه فرآیند میکروامولسیون در شرایط بهینه روش قابل کنترل جهت تولید ذرات نانو کروی از اکسید فلزات می‌باشد.

۴- نتیجه‌گیری

در این تحقیق سنتز به روش میکروامولسیون جهت دست‌یابی به نانوذرات اکسید تیتانیم کروی شکل مورد مطالعه قرار گرفت. تأثیر عوامل فرآیند (نسبت فعال کننده سطح آب و دما)، بر ساختار و ریخت‌شناسی نانوذرات‌های بسیار ریز مورد بررسی قرار گرفتند. نانوذرات تیتانیا از طریق آبکافت تیتانیم تترا ایزوپروپکسید در محلول میکروامولسیون که شامل آب، یک فعال کننده سطح آنیونی و سیکلوهگزان بود، آمده شد. اندازه بلور و میزان بلوری شدن با افزایش دمای کلسیناسیون افزایش

۵- مراجع

- J. Eastoe, J. Martin, L. Hollamby, L. Hudson, Recent advances in nanoparticle synthesis with reversed micelles. *Adv. Coll. Int. Sci.* 128-130(2007), 5-15.
- B. Niemann, F. Rauscher, D. Adityawarman, A. Voigt, K. Sundmacher, Microemulsion-assisted precipitation of particles: Experimental and model-based process analysis. *Chem. Eng. Proc.* 45(2006), 917-935.
- F. A. Deorsola, D. Vallauri, Study of the process parameters in the synthesis of TiO_2 nanospheres through reactive microemulsion precipitation. *Pow. Tech.* 190(2009), 304-309.
- J. C. Yu, M. K. P. Leung, W. Ho, B. Cheng, X. Zhao, J. Zhao, Effect of acidic and basic hydrolysis catalysts on the photocatalytic activity and microstructure of bimodal mesoporous Titania. *J. Cat.* 217(2003), 69-78.
- P. Kumar, Handbook of Microemulsion Science and Technology, New York, 2005, 590-593.
- J. Wang, Y. F. Jiang, Z. H. Jiang, X. D. Zhang, T. Ma, Y. Li, P. Zhang, W. Sun, H. Y. Zhang, Effect of TiO_2 powder on sonocatalytic degradation process of Acid Red B. *J. Chin Ceram Soc.* 34(2006), 1088-1092.
- J. Sekulic- Kuzmanovic, Mesoporous and Microporous Titania Membranes, PhD Thesis, University of Twente, (2004), 103-120.
- M. A. Fox, M. T. Dulay, Acceleration of secondary dark reactions of intermediates derived from adsorbed dyes on irradiated TiO_2 powders. *Chem. Rev.* 93(1993), 341-357.
- G. K. L. Goh, Ch. P. K. Liew, J. Kim, T. J. White, Atmospheric cold plasmas for synthesizing nanocrystalline anatase TiO_2 using dielectric barrier discharges. *J. Cry. Grow.* 291(2006), 94-99.
- X. Y. Wang, Z. J. Yi, L. S. Zhang, J. Wang, J. M. Wang, Study of rutile TiO_2 in situ supported on crude sepiolite by liquid phase method. *J. Chin. Ceram. Soc.* 34(2006), 932-936.
- S. Yamazaki, A. Yoshida, H. Abe, Photocatalytic degradation of chloroform in the gas phase on the porous TiO_2 pellets: Effect of Cl accumulated on the catalyst surface. *J. Photochem. Photobiol. A.* 169(2005), 191-196.
- C. J. Ren, B. H. Zhong, G. Q. Chen, W. M. Fang, Effect of copper ion dopants on photocatalysis activity of titanium dioxide thin films. *J. Chin. Ceram. Soc.* 34(2006), 39-43.
- C. Z. Fang, Y. W. Chen, Preparation of titania particles by thermal hydrolysis of TiCl_4 in *n*-propanol solution. *Mat. Chem. Phys.* 78(2003), 739-745.
- M. Yasushige, Y. Okastu, Y. Tsujimoto, Titanium dioxide nanoparticles produced in water-in-oil emulsion. *Int. Nanopart. Re.* 3(2001), 219-225.
- E. G. Kim, S. H. Hahn, Microstructural changes of microemulsion-mediated TiO_2 particles during calcinations. *Mat. Let.* 49(2001), 244-249.
- M. S. Lee, G. Lee, S. S. Park, S. S. Hong, Synthesis of TiO_2 nanoparticles in reverse microemulsion and their photocatalytic activity. *J. Ind. Eng. Chem.* 9(2003), 89-95.
- H. Sakai, H. Kawahara, M. Shimazaki, M. Abe, Preparation of ultrafine titanium dioxide particles using hydrolysis and condensation reactions in the inner aqueous phase of reversed micelles: Effect of alcohol addition. *Langmuir* 14(1998), 2208-2212.
- M. A. Lo'pez-Quintela, C. Tojob, M. C. Blanco, L. Garcí'a Rioja, J. R. Leis, Microemulsion dynamics and reactions in microemulsions. *Cop. Col. Int. Sci.* 9(2004), 264-278.
- M. S. Lee, S. S. Park, G. D. Lee, C. S. Ju, S. S. Hong, Synthesis of TiO_2 particles by reverse microemulsion method using nonionic surfactants with different hydrophilic and hydrophobic group and their photocatalytic activity. *Cat. Tod.* 101(2005), 283-290.
- M. S. Lee, S. S. Park, G. D. Lee, C. S. Ju, S. S. Hong, Preparations of nanosized TiO_2 in reverse microemulsion and their photocatalytic activity. *Sol. E Mat. Sol. Cel.* 88(2005), 389-401.
- S. N. Hosseini, S. M. Borghei, M. Vossoughi, N. Taghavinia; Immobilization of TiO_2 on perlite granules for photocatalytic degradation of phenol. *Appl. Catal. B.* 74(2007), 53-62.
- M. Sreeman, S. Sen, Influence of calcination ambient and film thickness on the optical and structural properties of sol-gel TiO_2 thin films. *Mat. Res. Bul.* 42(2007), 177-189.
- S. S. Honga, M. S. Lee, G. D. Lee, K. T. Limb, B. J. Hac, Synthesis of titanium dioxides in water-in-carbon dioxide microemulsion and their photocatalytic activity. *Mat. Let.* 57(2003), 2975-2979.
- A. R. Rao, V. Dutta, Low-temperature synthesis of TiO_2 nanoparticles and preparation of TiO_2 thin films by spray deposition. *Sol. E. Mat. Sol. Cel.* 91(2007), 1075-1080.
- H. Ahmadi Moghaddam, S. H. Jazayeri, R. Y. Saghakhaneh, The Production of titanium dioxide in anatase crystallographic structure, as an opacifier for glazes by the sulphate method. *J. Color Sci. Tech.* 2(2008), 95-101.
- M. Kanna, S. Wongnawa, Mixed amorphous and nanocrystalline TiO_2 powders prepared by sol-gel method: Characterization and photocatalytic study. *Mat. Chem. phy.* 110(2008), 166-175.